

## تغییرات خاک در ردیف ارضی-زمانی دو منطقه اقلیمی در زاگرس مرکزی

حسن رمضانپور<sup>۱</sup> و احمد جلالیان<sup>۲</sup>

### چکیده

تغییر خواص و تکامل خاک‌ها در واحدهای مختلف فیزیوگرافی، در دو ناحیه اقلیمی شهرکرد و چلگرد، به ترتیب با میانگین بارندگی سالیانه ۳۱۴ و ۱۲۲۴ میلی‌متر، بررسی گردید. در ناحیه اقلیمی شهرکرد، میزان  $\text{Fe}_{\text{d}}$  (آهن بی‌شکل + آهن در ترکیبات آلی) در افق سطحی تمام واحدها بیشتر از افق زیرین بوده، ولی  $\text{Fe}_{\text{d}}$  (آهن بلوژ + آهن بی‌شکل + آهن در ترکیبات آلی) در خاک‌های با زهکشی بهتر عملت‌آ در سطح، و در خاک‌های با سطح ایستایی بالا در افق زیرین متتمرکز است. افزایش اسمنتیت، کاهش کلریت و پالیگورسکیت در سطح خاک، احتمالاً به آثار موضعی اسیدهای آلی، تناوب اکسید و احیا و یا شدت هیدرولیز در اقلیم گذشته مرتبط تر مربوط می‌شود. حضور افق آرجیلیک و پتروکلسیک با کلسیت اسپارتی و فابریک اسفلولیتیک، نشان دهنده آب‌شویی و رسوب گذاری مرحله‌ای و متناوب در اقلیم شهرکرد است. افزون بر این، کاهش میزان سنگریزه و شسن از کوه به داشت را می‌توان به حل شدن ذرات درشت کربنات‌ها و رسوب گذاری مواد آبرفتی نسبت داد. در ناحیه اقلیمی چلگرد، کاهش  $\text{pH}$  و کربنات، و افزایش آهن پدوژنیک در افق سطحی نسبت به شهرکرد آشکار بود. هم‌چنین، وجود کانی‌های مخلوط کلریت-اسمنتیت، کاهش کلریت آهن دار در بخش رس ریز همراه با افزایش اسمنتیت،  $\text{CEC}$  بالا و فقدان افق پتروکلسیک نشان دهنده هوادیدگی و آب‌شویی بیشتر است. در این ناحیه، وجود بقایای آرجیلان با فابریک دایره‌ای (پاپیول)، افزایش  $\text{Fe}_{\text{d}}$ - $\text{Fe}_{\text{a}}$  و قرمزی در افق مدافون، دلیل بر منشأ پلی‌ژنتیک خاک‌ها است. تغییر اقلیم در دو منطقه وجود داشته، ولی در ناحیه شهرکرد عامل زمان مهم‌تر بوده است. در ناحیه چلگرد، به دلیل فعال تر بودن حرکات تکتونیک زمین و ناسپایداری واحدهای فیزیوگرافی، عامل توپوگرافی اهمیت بیشتری داشته، و ممکن است در تشکیل افق‌های مدافون و خاک‌های پالش‌سول (تشکیل شده در اقلیم گذشته) نقش داشته باشد.

واژه‌های کلیدی: تغییر اقلیم، هوادیدگی، پتروکلسیک، آرجیلان

۱. استادیار خاک‌شناسی، دانشکده کشاورزی، دانشگاه گیلان.

۲. دانشیار خاک‌شناسی، دانشکده کشاورزی، دانشگاه صنعتی اصفهان

## مقدمه

پدالوژیک و ژئومورفولوژیک است (۱۰). در مورد تراس‌های رودخانه‌ای و تشکیل خاک، باید روابط میان خاک و زمین‌نما (Landscape) مجموعه‌ای از واحدهای ژئومورفولوژی را در نظر گرفت. برای مثال، آیا شبیب ناگهانی تراس رودخانه‌ای در نتیجه حرکات تکتونیک بالا آمدن (Uplift) و تغییرات اقلیمی به وجود آمده؟ یا در اثر تغییر برخی عوامل در داخل منطقه صورت گرفته است؟ در مناطقی که بالا روی تکتونیک زمین‌نما وجود دارد، سطوح تراس‌های رودخانه‌ای ممکن است دارای ارتفاع بیش از پنج متر باشد. در حالی که اختلاف ارتفاع تراس‌ها، در مناطقی که فاقد حرکات تکتونیک است، کمتر از پنج متر است (۱۰). تشکیل تراس‌ها معمولاً در اثر کم و زیاد شدن آب رودخانه‌ها در اثر اقلیم (۶)، و یا توسط حرکات تکتونیکی زمین از طریق گسل، که موجب تغییر شبیب می‌شود، صورت می‌گیرد (۶ و ۲۲). در مناطق دارای حرکات تکتونیک نیز، معمولاً خاک‌های قدیمی (Paleosol) و مدفون وجود دارد (۱۰ و ۲۰).

- در ارزیابی فرایندهای ژنتیکی (پیدایش خاک) و تعیین درجه تکامل پروفیلی خاک از نسبت  $\frac{Fe_0}{Fe_d}$  استفاده می‌شود. این نسبت معمولاً با عمق کاهش می‌یابد (۴ و ۲۱)، و کاهش آن با عمق، به کند شدن سرعت آزاد شدن آهن از کانی‌های سیلیکاته مربوط می‌شود (۲۱). افزایش این نسبت در افق‌های سطحی خاک‌های احیایی را در سه مورد می‌توان ذکر کرد (۱۷):
  ۱. حالت ماندگانی دائمی موجب عقب انداختن آب‌زدایی و بلوری شدن آهن می‌گردد.
  ۲. یون‌های متحرک جذب کلویید می‌شوند.
  ۳. آهن فریک بی‌شکل در شرایط اکسید و احیایی کوتاه مدت غالب می‌شود.
- در خاک‌های با اقلیم مدیترانه‌ای (Xeric) در افق‌های زیرین، این نسبت به میزان کمتر از  $0/05$  گزارش شده است (۲۳). برخی از گزارش‌ها مقدار  $< 0/35$  را برای خاک‌های با زهکشی خوب و قدیمی‌تر، و  $> 0/35$  را برای خاک‌های

بالا روی زاگرس از اوخر دوره پلیوسن، به طور شدید آغاز شده و زمین‌های با توپوگرافی متفاوت را به وجود آورده است (۱۰ و ۲)، به گونه‌ای که میزان مواد آلی، رطوبت، عمق سولوم و رنگ خاک تحت تأثیر توپوگرافی تغییر می‌نماید. ولی اقلیم، عامل فعال در پدیده خاک‌سازی است، و تغییر آن موجب می‌شود که ویژگی‌های خاک و دیگر اجزای اکوسیستم، بیشتر تغییر کند و در سرعت تکاملی خاک اثر بگذارد (۶). بیرکلن (۳) معتقد است که سرعت تشکیل رس با افزایش رطوبت زیاد شده، و بیشترین میزان رس در محیط مرطوب و گرم به دست می‌آید.

در واقع افق‌های مدفون بیانگر نوعی تغییر اقلیم است (۱۰). از مشخصاتی مانند ناگهانی بودن مرز افق و ویژگی‌های کانی شناسی (میزوالوژیک) می‌توان در تشخیص آنها کمک گرفت (۳). افزایش قرمزی رنگ خاک با افزایش سن خاک (۳)، در دو حالت قابل بررسی است:

۱. رنگ تحت تأثیر مواد مادری است.
  ۲. تغییرات قرمزی خاک‌های قدیمی ممکن است به خاطر تغییر اقلیم باشد.
- حالت دوم نشان دهنده یک فاصله یا وقفه در پدیده خاک‌سازی است، به گونه‌ای که دو مرحله رسوب‌گذاری و تشکیل خاک را به همراه دارد (۳). به سخن دیگر، خاک‌های مدفون حاصله از تغییر اقلیم بیانگر آن است که تشکیل خاک با دوره‌های متناوب رسوب‌گذاری-فرسایش همراه بوده است (۱۱). عامل مؤثر دیگر بر تکامل خاک‌ها، وجود کربنات است، و مقدار آن تحت تأثیر توپوگرافی، مواد مادری و اقلیم تغییر می‌نماید. زمان نیز نقش جداگانه در تغییر خواص دارد، به طوری که برخی از ویژگی‌های خاک، شامل رنگ و pH، با گذشت زمان تغییر می‌کند (۱۹). مثلاً مکفادن و ولدون (۱۴) گزارش نمودند که ضخامت و قرمزی افق آرجیلیک در تراس‌ها را می‌توان به دوره قدیمی‌تر پلیستوسن نسبت داد.

تشکیل خاک، نتیجه تأثیر متقابل فرایندهای مختلف

ارضی حوزه آبخیز و نقشه اقلیمی پیشنهاد شده (۲) به مقیاس  $\frac{1}{25000}$ ، یک مسیر پیمایش (Transect) از واحدهای فیزیوگرافی غالب در هر ناحیه انتخاب گردید. در مسیر بررسی شهرکرد که از یک کیلومتری شمال شرقی فرخ شهر تا دو کیلومتری شمال غربی هفشجان امتداد داشت پنج پروفیل، و در مسیر بررسی چلگرد که از بازفت در جنوب زردکوه تا شهریاری و چشممه دیمه در شمال شرقی زردکوه امتداد داشت شش پروفیل شاهد انتخاب گردید، و از افق‌های ژنتیکی آنها نمونه برداری انجام شد (شکل‌های ۱، ۲ و ۳).

در آزمایش‌های فیزیکی-شیمیایی، افزون بر انجام آزمایش‌های متداول، آهن پدوژنیک با دو نوع محلول عصاره‌گیر، یکی سیترات-سیکربنات-دیتیونات ( $\text{Fe}_d$ ) که آهن بی‌شکل + آهن بلوری + آهن در ترکیبات آلی را استخراج می‌نماید (۱۲)، و دیگری اکسالات آمونیوم اسیدی ( $\text{Fe}_o$ ) که آهن بی‌شکل + آهن در ترکیبات آلی را عصاره‌گیری می‌نماید (۱۷)، اندازه‌گیری شد. برای آزمایش میکرومورفولوژی، کلوخه‌های دست‌نخورده از افق‌ها تهیه گردید. برخی با رزین پتروپاکسی ۱۵۴ (نمونه را ابتدا در دمای  $60-70^\circ\text{C}$  درجه در آون خشک کرده، آن را گرم نموده، سپس رزین و ماده سخت کننده را به نسبت ۱۰:۱ مخلوط و کلوخه را با آن اشباع نموده و بعد در دمای  $135^\circ\text{C}$  به مدت ۲۰ دقیقه قرار داده تا سخت گردد. با استفاده از کانادا بالزان جامد، نمونه را در سطح لام چسبانده و با پودر کوراندوم با مشاهی ۶۰۰ تا ۱۰۰ عمل سایش را انجام تا ضخامت مقطع به  $30\text{ }\mu\text{m}$  میکرون برسد) و تعدادی بارزین‌های معمولی اشباع شده، سپس تفسیر میکروسکوپی مقاطع نازک بر پایه روش بروور (۵) صورت گرفت.

برای کانی‌شناسی رس، با استفاده از روش کیتریک و هوب (۱۳) مراحل زیر انجام شد:

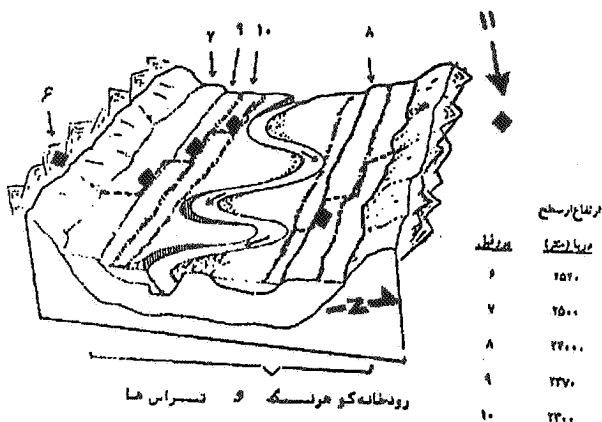
مراحل جداسازی: برای کربنات‌زادایی  $20\text{ g}$  خاک، استات سدیم در  $\text{pH}=5$  و دمای  $80^\circ\text{C}$ ، و برای اکسیداسیون مواد آلی، آب اکسیزن  $30\%$  در چند مرحله استفاده شد. به نمونه فوق  $100\text{ ml}$  متر بافر سیترات، چهار گرم دیتیونات در دمای  $80^\circ\text{C}$

با زهکشی ضعیف و جوان‌تر نسبت داده‌اند (۱۷). پژوهش نشان داده است که در مراحل اولیه هوادیدگی و تکامل خاک، آزاد سازی آهن غیر بلوری از کانی‌های خاک، ممکن است از میزان فرایند تشکیل بلور (Crystallization) بیشتر گردد، و موجب شود که نسبت  $\frac{\text{Fe}_o}{\text{Fe}_d}$  افزایش یابد. ولی با افزایش سن و تکامل پروفیلی خاک، مقدار  $\text{Fe}_d$  بیشتر شده، و این نسبت کاهش می‌یابد (۲۱). در خاک‌های آهکی با زهکشی خوب، تشکیل اکسیدهای آهن پدوژنیک خیلی کند است، زیرا میزان حل شدن کانی‌های آهن‌دار یا کانی‌های ثانویه خاک در تعادل با  $\text{CaCO}_3$  کم است. به سخن دیگر، در  $\text{pH}$  قلیایی (خاک آهکی) و شرایط تهویه خوب، آهن به شکل  $\text{Fe}^{3+}$  و رسوب وجود دارد نه  $\text{Fe}^{2+}$ ؛ در نتیجه حلایت و حرکت آهن خیلی کم است. بنابراین، غلظت اکسیدهای آهن پدوژنیک در این شرایط کاملاً پایین است (۲۳). هدف از انجام این پژوهش عبارت است از:

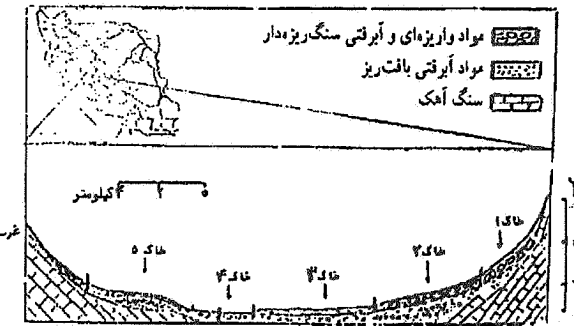
۱. بررسی نقش اقلیم در پیدایش ویژگی‌های متفاوت خاک‌ها.
۲. بررسی همبستگی میان خاک و لندفرم (شکل اراضی) یا واحد فیزیوگرافی.
۳. به دست آوردن اطلاعات درباره وضع آب و هوای گذشته در زاگرس.

## مواد و روش‌ها

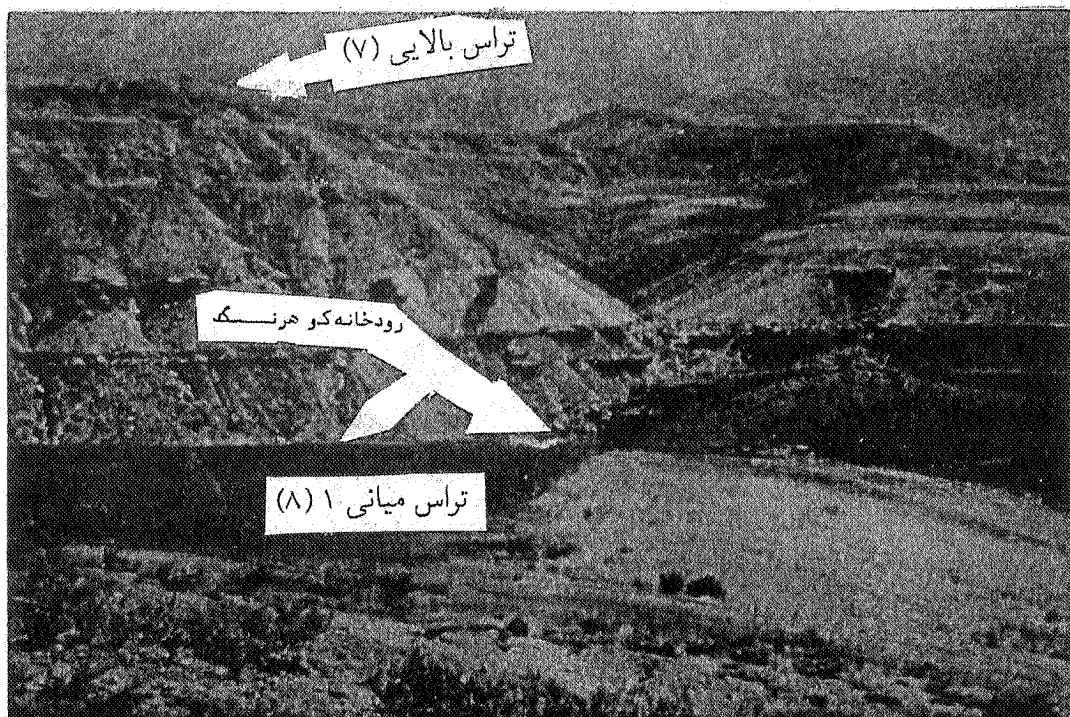
وسعت منطقه مورد بررسی  $1447600\text{ ha}$  هکتار، و بخشی از حوزه آبخیز شمال رود کارون است (۲). ناحیه اقلیمی شهرکرد به مساحت  $593800\text{ ha}$  هکتار، با میانگین بارندگی و دمای سالیانه به ترتیب  $314/5\text{ ml m}^{-3}\text{ day}^{-1}$  و  $12/2^\circ\text{C}$  است، و شامل بخش‌های فرخ‌شهر، گندمان، جونقان، هفشجان، بروجن، فارسان و شهرکرد است. ناحیه اقلیمی چلگرد به مساحت  $220700\text{ ha}$  هکتار، با میانگین بارندگی و دمای سالیانه به ترتیب  $1224\text{ ml m}^{-3}\text{ day}^{-1}$  و  $9/5^\circ\text{C}$  است، و شامل بخش‌های شوراب، بازفت، شهریاری، دشتک، چشممه دیمه و چلگرد است. با استفاده از اطلاعات مربوط به نقشه توپوگرافی به مقیاس  $\frac{1}{50000}$ ، نقشه منابع



شکل ۲. نمایش شماتیکی محل حفر پروفیل‌ها (۱ تا ۱۱) در ناحیه اقلیمی چلگرد



شکل ۱. نمایش شماتیکی محل حفر پروفیل‌ها (۱ تا ۵) در ناحیه اقلیمی شهرکرد



شکل ۳. نمایی از وضع زمین‌نمای تراس‌ها در اطراف رود کوهنگ (ناحیه اقلیمی چلگرد)

مراحل آماده‌سازی: به ۵۰ میلی لیتر از سوسپانسیون نمونه، چند قطره کلرور منیزیم نرمال افزوده شد و به مدت پنج دقیقه با دور زیاد سانتریفیوژ گردید. سپس دوباره ۵۰ میلی لیتر کلرور منیزیم نرمال افزوده شد و پس از تکان مکانیکی به مدت ۱۰ دقیقه و سانتریفیوژ کردن، مایع رویی دور ریخته شد و پس از سه بار تکرار و انجام شستشو با الکل یا آب، عمل سانتریفیوژ صورت گرفت. اسلاید نمونه اشباع با منیزیم پس از تجزیه با

افزوده شد. پس از سانتریفیوژ کردن و شستشو با ۵۰ میلی لیتر بافر سیترات و سانتریفیوژ، اکسید آهن آزاد در محلول رویی جمع آوری گردید. آن گاه به نمونه آب مقطر افزوده شده، رس ریز (کمتر از  $\frac{1}{2}$  میکرون) در ۲۷۰۰ دور در دقیقه به مدت ۴۱/۲ دقیقه و پنج مرتبه تکرار، و رس درشت ( $\frac{1}{2}-\frac{1}{4}$  میکرون) در ۷۵۰ دور در دقیقه به مدت  $5\frac{1}{3}$  دقیقه و سه مرتبه تکرار جدا گردید.

رسوب کربنات کلسیم ثانویه در نقاطی مانند شکاف داخل خاک، که تبادل گازی سریع‌تر است، می‌تواند انجام گیرد. در حالی که سوبیکی و واپلینگ (۲۶)، تشکیل افق کلسیک و تجمع آهک ثانویه در خاک‌های کلسی‌اکوالز (Calciaquolls) را نتیجه رسوبر کربنات و بیکربنات محلول، از طریق حرکت رو به بالای جریان آب زیرزمینی تا نزدیک سطح خاک می‌دانند.

شرایط قلیابی و زهکشی ضعیف میزان هیدرولیز و تخریب کانی‌ها را محدود می‌نماید (۲۶). با این حال، تجمع اسیدهای آلی و تناب اسید و احیا موجب تغییر در کانی‌شناسی افق سطحی خاک پروفیل ۳ و ۴ شده، به گونه‌ای که کاهش کلریت در بخش رس ریز، با افزایش اسماکتیت همراه بوده است. مورفولوژی پروفیل ۴ (جدول ۱) حضور رس انبساط‌پذیر (ایجاد شکاف) را تأیید می‌کند. با افزایش شیب از واحد اراضی پست به طرف فلات قدیمی، زهکشی بهتر می‌شود و رنگ خاک‌ها روشن‌تر می‌گردد. با پیدایش افق‌های آرجیلیک (شکل ۷) و پتروکلسیک (شکل ۸) در فلات قدیمی، خاک‌های تکامل یافته‌تر تشکیل می‌شود. کاهش نسبت  $\frac{Fe_d}{R_s}$  در عمق زیرین و توزیع نامنظم آن (شکل ۴) در خاک‌های با زهکشی بهتر، دلیل بر این است که حرکت رس، مستقل از  $Fe_d$  بوده و همبستگی میان آنها ضعیف است (۴ و ۱۲). به سخن دیگر، افزایش رس در آرجیلیک، موجب کاهش این نسبت می‌گردد، در حالی که ثابت شدن این نسبت در عمق زیرین (پروفیل ۴) به دلیل نوسان آب (شکل ۴)، نشان می‌دهد که زمان لازم برای تشکیل آهن بلوری فراهم نبوده ( $\frac{Fe_0}{Fe_d}$  در پروفیل ۴ نسبتاً بیشتر از پروفیل ۵ می‌باشد) و مهاجرت هم‌زمان رس و آهن به وسیله نوسان آب زیرزمینی صورت می‌گیرد (۴).

Shawad زیر نشان می‌دهد که اقلیم گذشته در ناحیه اقلیمی شهرکرد، مرطوب‌تر از زمان حال بوده است:

الف) وجود افق مدفعون 2Bt<sub>kb</sub> در پروفیل ۲. در این حالت واریزه‌ها از نقاط پرشیب بالادست کوه به سمت پایین کوه و اراضی بادبزنی شکل سرازیر شده، و به دلایل زیر

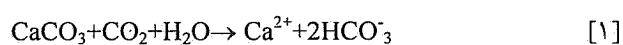
اشعه ایکس به مدت یک روز در دسیکاتور حاوی اتیلن گلیکول در دمای ۷۰°C گذاشته شد. اشباع نمونه‌ها با کلرور پتاسیم یک نرمال نیز همانند اشباع با منیزیم بوده، و پس از تجزیه با اشعه ایکس، در دمای مختلف کوره الکتریکی به مدت دو ساعت قرار گرفت، و هر بار نیز عمل تجزیه انجام گردید. نمونه‌ها از زاویه صفر تا ۳۰ درجه تا ۲۰ در معرض اشعه ایکس دستگاه پراش‌سنچ نوع شیمادزو مدل XD-610 و جریان ۴۰ میلی‌آمپر و ولتاژ ۴۰ کیلووات قرار گرفت.

## نتایج و بحث

### ناحیه اقلیمی شهرکرد

از آنجا که شیب در واحد فیزیوگرافی کوه زیاد است، سطوح ژئومورفیک آن پایدار نبوده، و به دلیل مواد مادری آهکی، خاک‌ها تکامل ندارند (جدول ۱). در واحد واریزه‌های بادبزنی شکل، خاک بدون تکامل (Xerorthents) روی خاک تکامل یافته‌ای با ساختمان بلوکی و افق‌های کلسیک و آرجیلیک قرار گرفته است (جدول ۱). به تدریج که شیب واحدها کمتر می‌شود (پروفیل ۳ و ۴) میزان سیلت و رس به دلیل خرد شدن و حل شدن سنگریزه‌های آهکی، بیشتر شده (۷ و ۲۶)، و زهکشی خاک ضعیفتر می‌گردد، به گونه‌ای که ساختمان بلوکی (تجمع رس) در افق زیرین، تجمع مواد آلی در سطح، و رنگین دانه‌ها در عمق را می‌توان مشاهده نمود.

در اراضی پست، کم بودن عمق آب زیرزمینی، تشکیل افق کلسیک را تحت تأثیر قرار داده، به طوری که بخشی از کربنات کلسیم ثانویه انتقال یافته از سطح (Illuvial) دارای منشأ افق رویی است. ولی بخشی از کربنات کلسیم دارای منشأ آب زیرزمینی است، و با تبخیر آب در شرایط گرم و یا کاهش  $CO_2$  در اطراف شکاف سطحی (جدول ۱)، واکنش به سمت چپ تمایل یافته (رابطه ۱)، کربنات کلسیم به صورت رسوب در حاشیه شکاف ابیاشته می‌شود.



پژوهش رایین‌هورست و همکاران (۱۸) نیز گویای این است که

جدول ۱. برخی ویژگی‌های فیزیکی، شیمیایی، مورفولوژیک و طبقه‌بندی نیمرخ خاک‌های شاهد (ناحیه اقلیمی شهرکرد)

ردیف	کلسیم معادل (%)	کربنات ثانویه (%)	ساختمان	رنگ مرطوب	عمق (سانتی‌متر)	افق	نیمرخ (پروفیل) خاک	واحد فیزیوگرافی خاک
۶۶	۲۷	—	m	10YR 4/4	۰-۱۲	A		کوه دارای سنگ‌های آهکی
۵۹	۳۳	—	m	7.5YR 4/4	۱۲-۴۰	C1	۱	
۶۷	۴۱	—	m	7.5YR 4/4	۴۰-۶۰	C2		
۶۴	۶۳	—	m	7.5YR 6/4	۶۰-۱۱۰	C3		
۲۷	۲۳	—	1fgr-m	10YR 4/3	۰-۱۰	A		واریزهای بادیزنسی
۳۲	۳۸	—	m	10YR 4/4	۱۰-۴۰	C1	۲	شکل با
۳۸	۴۸	—	m	10YR 4/4	۴۰-۶۰	C2		
۶۲	۵۳	آهک پودری به مقدار نسبتاً زیاد	2mabk	7.5YR 4/4	۶۰-۱۰۰	2Btgb		شیب
۳۹	۵۳	آهک پودری به مقدار نسبتاً زیاد	1fsbk-m	7.5YR 4/4	۱۰۰-۱۴۰	2BCkb		%۸-۵
۵۷	۳۱	—	1fgr-m	10YR 4/3	۰-۱۸	Ap		دشت‌های آبرفتی
۶۶	۴۷	آهک پودری به مقدار کم	1fsbk	10YR 5/3	۱۸-۴۶	Btk1		دامنه‌ای با
۵۹	۵۱	آهک پودری به مقدار نسبتاً زیاد	2mabk	10YR 5/3	۴۶-۸۵	Btk2	۳	
۷۱	۴۱	آهک پودری به مقدار نسبتاً زیاد	3mabk	10YR 5/2	۸۰-۱۲۰	Btkg1		شیب
۷۱	۴۷	آهک پودری به مقدار نسبتاً زیاد	2mabk	10YR 5/2	۱۲۰-۱۰۰	Btkg2		%۱-۰
۶۷	۴۱	—	1mgr	10YR 4/2	۰-۲۰	A		
۵۹	۴۵	آهک پودری به مقدار نسبتاً زیاد	1fsbk	10YR 4/2	۲۰-۵۰	BK		اراضی پست ۱
۶۰	۴۲	آهک پودری به مقدار نسبتاً زیاد	1mabk	10YR 5/2	۰۰-۷۲	Bkg1	۴	
۶۰	۵۲	دارای آهک ثانویه زیر میکروسکوپ	1msbk	10YR 5/2	۷۲-۹۰	Bkg2		
۶۰	۵۷	دارای آهک ثانویه زیر میکروسکوپ	1fsbk	10YR 5/1	۹۰-۱۰۰	Bkg3		
۴۷	۱۱	—	1fgr	7.5YR 5/4	۰-۲۴	Ap		فلات‌های قدیمی
۵۶	۳۵	آهک پودری به مقدار نسبتاً زیاد	2mabk	7.5YR 4/4	۲۴-۵۲	Btk1		فرسایش یافته
۴۹	۴۲	آهک پودری به مقدار نسبتاً زیاد	2msbk	7.5YR 4/5	۵۲-۶۷	Btk2	۵	
۵۰	۳۵	آهک پودری به مقدار نسبتاً زیاد	2csbk-abk	7.5YR 5/5	۶۷-۹۰	Btk3		
—	۹۰	آهک سخت شده با پوشش لامینار	m	—	>۹۰	2bkm		

۱. سطح ایستایی گاهی نزدیک به سطح، دارای زهکشی ضعیف، رنگین دانه‌های اکسید و احیایی و شکاف در تابستان است.

ادامه جدول ۱. برخی ویژگی‌های فیزیکی، شیمیایی، مورفولوژیک و طبقه‌بندی نیمرخ خاک‌های شاهد (ناحیه اقلیمی شهرکرد)

فیزیوگرافی	واحد	نیمرخ (پروفیل)	کربن آلی (%)	Fe <sub>d</sub> -Fe <sub>0</sub> (%)	pH گل اشباع	CEC cmol (+)kg <sup>-1</sup>	رس ریز کل رس	سیستم طبقه‌بندی	
								(%)	(20) ۱۹۹۸
Typic Xerorthents	کوه دارای سنگ‌های آهکی	۱	۰/۶۹	۰/۷	۷/۹	۲۸/۵	—	۰/۳۱	۲۱
	واریزه‌های با بدبزنی شکل با شیب	۲	۰/۴۰	۰/۰۳	۷/۹	۲۹/۹	—	۰/۳۴	۱۹
	دشت‌های آبرفتی	۳	۰/۳۵	۰/۰۴	۸	۲۶/۸	—	۰/۴۰	۱۸
	دامنه‌ای با شیب	۴	۰/۲۳	۰/۲۶	۸/۲	۱۶/۶	—	۰/۴۱	۱۷/۷
Calcic Haploxeralfs	دشت‌های آبرفتی	۱	۰/۸۸	۰/۶۳	۷/۸	۲۱	۰/۳۱	۰/۴۱	۲۱
	دامنه‌ای با شیب	۵	۰/۵۷	۰/۰۷	۷/۷	۱۹	۰/۳۴	۰/۴۰	۱۸
	اراضی پست	۶	۰/۳۴	۰/۳۴	۷/۸	۱۷/۷	۰/۴۱	۰/۴۱	۱۷/۷
	فلات‌های قدیمی فرسایش یافته	۷	۰/۲۹	۰/۶۴	۷/۶	۱۷/۶	۰/۴۱	۰/۴۱	۱۷/۶
Aeric Calciaquolls	اراضی پست	۱	۰/۴۰	۰/۴۲	۸	۲۷/۹	۰/۳۱	۰/۴۱	۲۷/۹
	اراضی پست	۲	۰/۲۲	۰/۲۲	۸/۱	۲۴	۰/۴۱	۰/۴۱	۲۴
	اراضی پست	۳	۰/۳۷	۰/۱۵	۸/۲	۲۰	۰/۳۷	۰/۴۱	۲۰
	اراضی پست	۴	۰/۳۷	۰/۳۳	۷/۸	۲۲	۰/۳۹	۰/۴۱	۲۲
Petrocalcic Palexeralfs	فلات‌های قدیمی فرسایش یافته	۵	۰/۱۸	۰/۴۲	۷/۹	۱۹	۰/۰۷	۰/۰۷	۱۹
	فلات‌های قدیمی فرسایش یافته	۶	۰/۷۳	۰/۲۳	۷/۸	۳۰/۹	۰/۶۱	۰/۶۱	۳۰/۹
	فلات‌های قدیمی فرسایش یافته	۷	۰/۰۹	۰/۲۵	۷/۸	۲۲/۶	۰/۰۱	۰/۰۱	۲۲/۶
	فلات‌های قدیمی فرسایش یافته	۸	۰/۰۵	۰/۳۵	۸	۲۴/۸	۰/۶۲	۰/۶۲	۲۴/۸
	فلات‌های قدیمی فرسایش یافته	۹	۰/۳۵	۰/۳۵	۷/۸	۲۱/۹	۰/۶۳	۰/۶۳	۲۱/۹
	فلات‌های قدیمی فرسایش یافته	۱۰	۰/۰۲	۰/۴	۸	۱۸/۴	۰/۶۹	۰/۶۹	۱۸/۴
	فلات‌های قدیمی فرسایش یافته	۱۱	۰/۰۲	۰/۷۶	۷/۷	۲۴	۰/۰۹	۰/۰۹	۲۴
	فلات‌های قدیمی فرسایش یافته	۱۲	۰/۴۳	۰/۶۳	۷/۴	۲۴/۰	۰/۰۳	۰/۰۳	۲۴/۰

۱. سطح ایستابی گاهی نزدیک به سطح، دارای زهکشی ضعیف، رنگین دانه‌های اکسید و احیایی و شکاف در تابستان است.

رسی مجزا و پیوسته در صحراء در افق 2Btcb

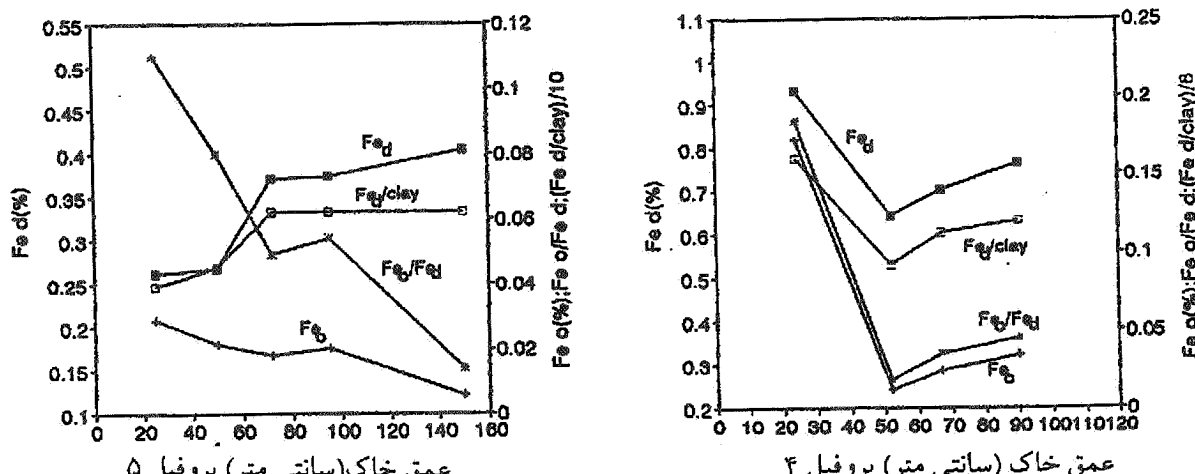
خاک‌های تکامل یافته زیرین را به وجود می‌آورد:

۲. شواهد مورفولوژی، شامل افزایش رس از ۳۷٪ در افق C2 به

۱. شواهد مورفولوژی، شامل تغییر هیوی رنگ از 10YR در

۰/۶۱ در افق 2Btcb

۰/۲۸ در افق 7.5YR و نیز مشاهده پوسته



شکل ۴. توزیع آهن پدروژنیک (Fed, FeO) و کل رس / Fed با عمق

است تا پوسته رسی جهت دار تخریب گردد (۹)؛ و یا مخلوط شدن کربنات ها با رس انتقال یافته از سطح ممکن است موجب شود تا در زیر میکروسکوپ، پوسته رسی از نظر پنهان شود (۹).

ج) تشکیل افق پتروکلسیک همراه با پوشش لایه های مطبق خطی (شکل ۸) دارای مخلوطی از صور پدروژنیک کریستالاریا و نشوکلسیتان از کربنات خالص بوده، که عمدتاً در اندازه های اسپاریت (بزرگتر از ۵۰ میکرون) است. گرچه برخی از گزارش ها، عامل بیولوژیک را در تشکیل قسمت مطبق (لامینار) مسئول دانسته اند (۱۶)، ولی به طور کلی، پوشش های لامینار، آخرین مرحله تشکیل افق پتروکلسیک است، و چون بلورهای اندازه اسپاریت، رسوب مرحله ای و تدریجی کلسیت را نشان می دهد (۷ و ۱۶)، از این رو، تشکیل لامینار، محصول فرایند افزایش متوالی کربنات ها است، که با تغییر رژیم رطوبتی، حرارتی و محلول شیمیایی در زمان طولانی تر شکل گرفته است، و خود معرف تغییر شرایط اقلیمی است (۷ و ۱۶).

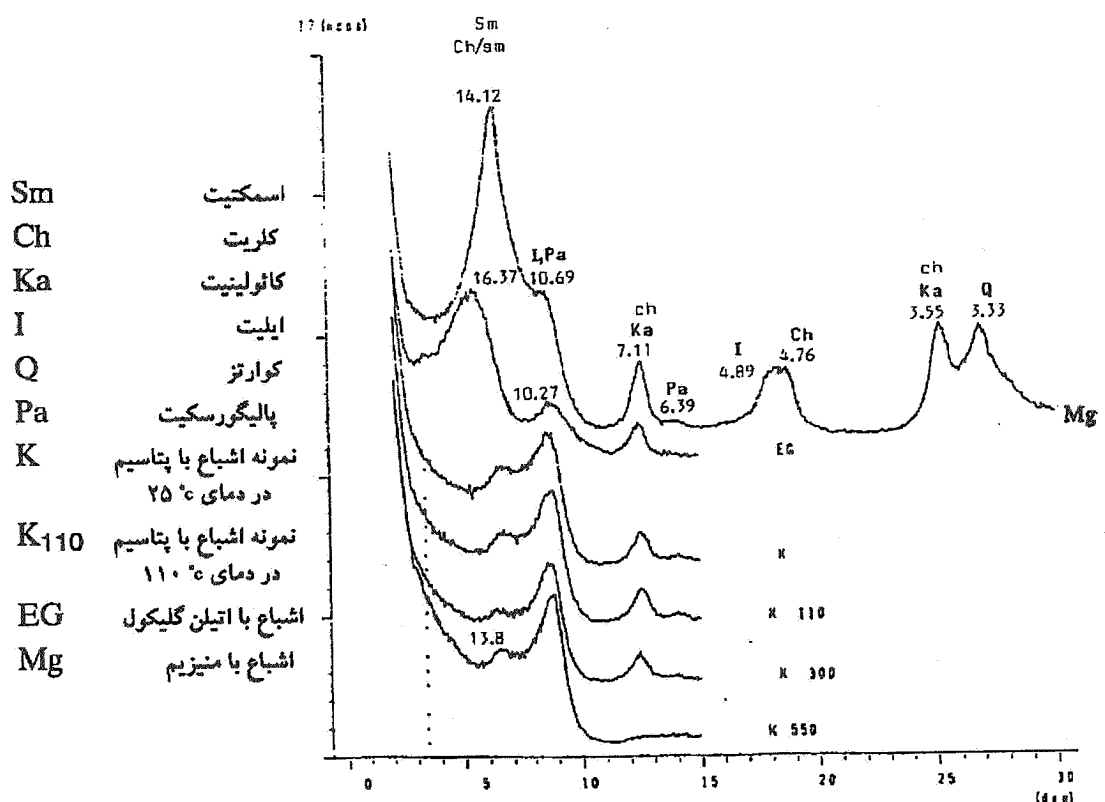
بررسی های مقطع نازک نشان داد که بخش لایه های مطبق خطی (شکل ۸) دارای مخلوطی از کربنات خالص بوده، که عمدتاً در اندازه های اسپاریت (بزرگتر از ۵۰ میکرون) است. گرچه برخی از گزارش ها، عامل بیولوژیک را در تشکیل قسمت مطبق (لامینار) مسئول دانسته اند (۱۶)، ولی به طور کلی، پوشش های لامینار، آخرین مرحله تشکیل افق پتروکلسیک است، و چون بلورهای اندازه اسپاریت، رسوب مرحله ای و تدریجی کلسیت را نشان می دهد (۷ و ۱۶)، از این رو، تشکیل لامینار، محصول فرایند افزایش متوالی کربنات ها است، که با تغییر رژیم رطوبتی، حرارتی و محلول شیمیایی در زمان طولانی تر شکل گرفته است، و خود معرف تغییر شرایط اقلیمی است (۷ و ۱۶).

۳. شواهد میکرومورفولوژی، شامل ساختمان توده ای در افق C2، ساختمان بلورکی، و نیز کلسیت سوزنی شکل پدروژنیک در افق 2Btcb

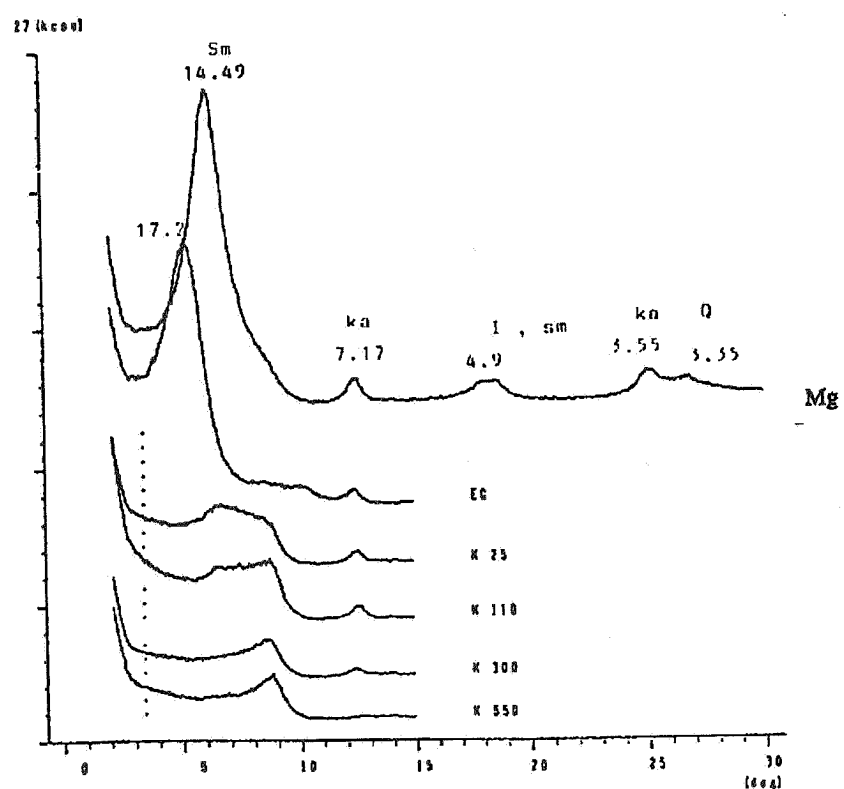
مکفان و ولدون (۱۴)، افزایش ناگهانی رس و اکسید آهن را به تغییر اقلیم نسبت دادند. جساب (۱۱) نیز خاک های مدفون را در اثر تشکیل خاک با دوره های متناوب رسوب گذاری - فرسایش و اقلیم مرطوب تر گذشته می داند.

ب) میزان بارندگی فعلی (۳۱۴ میلی متر) به حدی نیست که آب شویی کربنات ها از افق سطحی و تشکیل افق پتروکلسیک در عمق زیرین را موجب گردد. همچنین، حضور آرجیلان در افق Btk1 (شکل ۷)، و تجمع کانی های گروه اسمکتیت (شکل ۵)، و افزایش نسبت رس ریز به کل رس (جدول ۱) در افق 3 Btk در خاک های فلات قدیمی، دلیل بر این است که آب شویی بیشتر در اقلیم گذشته این شرایط را فراهم آورده است.

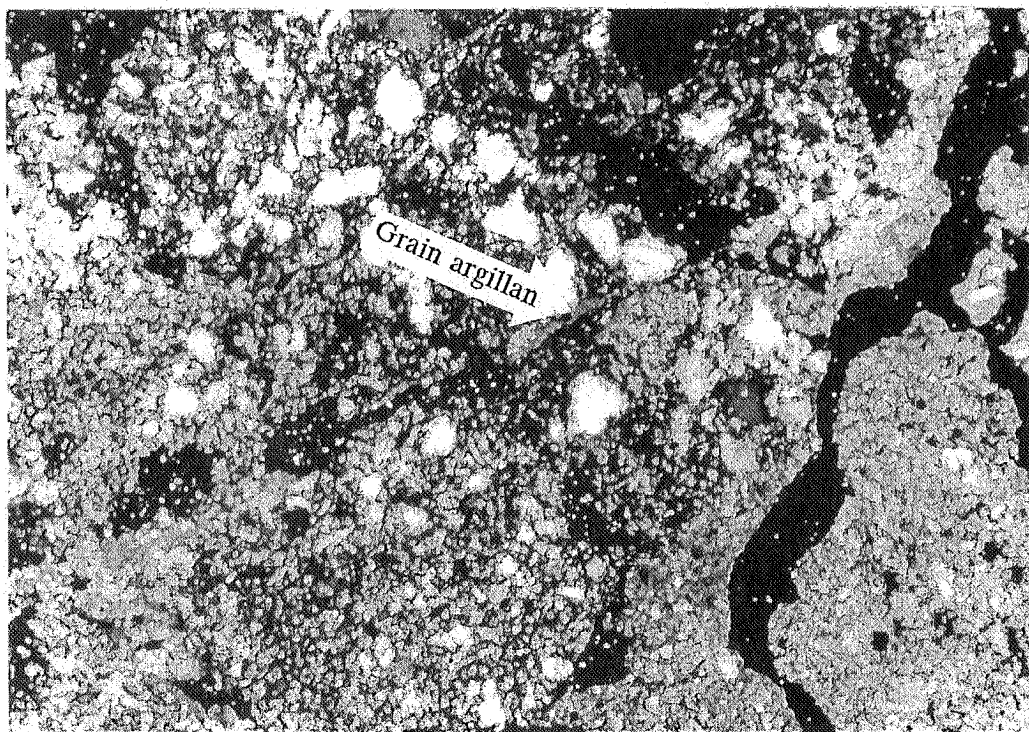
عدم مشاهده میکروسکوپی پوسته رسی (آرجیلان) در برخی خاک های این مناطق به دلیل آن است که بخشی از افزایش رس در اثر هوادیدگی در جا می باشد (۲۶)؛ و یا این که کربناته شدن و یا رشد بلورهای کلسیت ثانویه (۹)، یا فشار ناشی از انساط کانی های اسمکتیت موجب شده



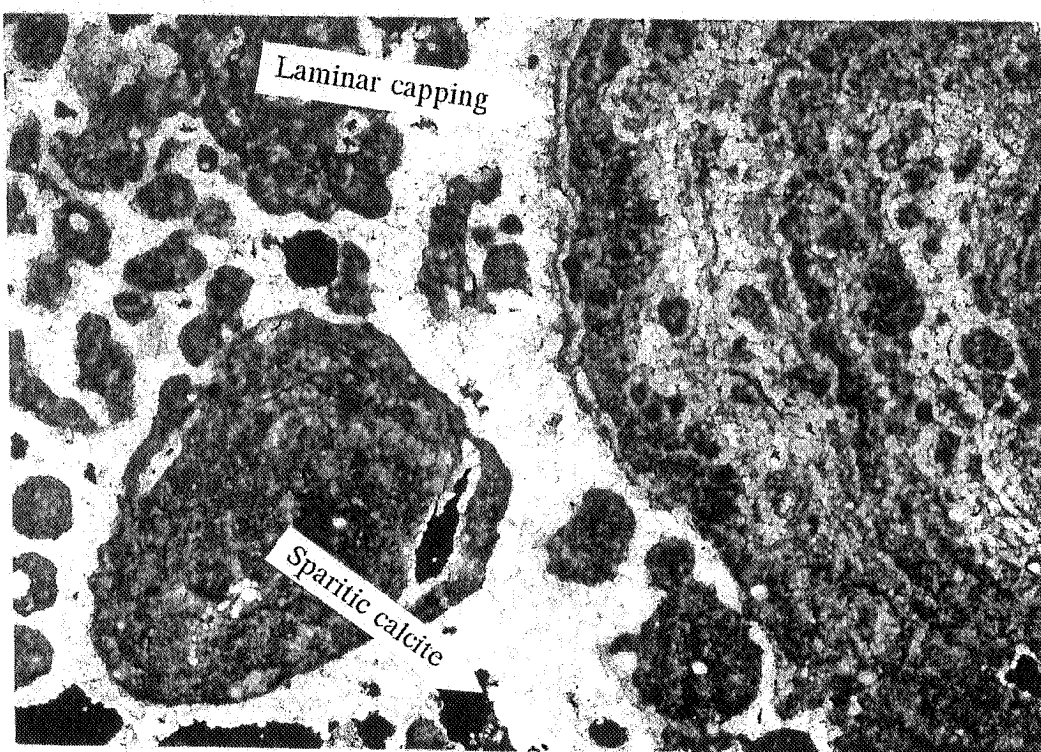
شکل ۵. دیفراکتوگرام اشعه ایکس رس ریز افق Btk3 پروفیل ۵ (اعداد روی نقاط فراز به آنگستروم)



شکل ۶. دیفراکتوگرام اشعه ایکس رس ریز افق Bk2 پروفیل ۱۱ (اعداد به آنگستروم)



شکل ۷. مقطع میکروسکوپی افق Btk1 پروفیل ۵، نور پلازیزه، طول عکس برابر ۲/۵ میلی متر  
(شکاف داخل ماسه سنگ از تخریب پوسته رسی یا آرجیلان جلوگیری نموده است.)



شکل ۸ مقطع میکروسکوپی بخش مطبق (لامینار) افق Bkm پروفیل ۵ ، نور پلازیزه، طول عکس برابر ۲/۵ میلی متر  
[بخش لامینار (سمت راست)، توده های قهوه ای کروی و کلسیت اسپاریت با فابریک اسپرولیتیک را نشان می دهد.]

## ناحیه اقلیمی چلگرد

- (فابریک اسکل سپیک).
۲. نسبت‌های رس ریز به کل رس در افق‌های رویی و زیرین، چندان اختلافی ندارند (جدول ۲).
  ۳. وقتی رس‌های انبساط‌پذیر در خاک زیاد است، در اثر خشک و مروط شدن، ذرات درشت چرخش نموده و کانی‌های رسی در اطراف ذرات درشت، جهت‌دار می‌شوند<sup>(۸)</sup>.
  - بر پایه اطلاعات موجود، می‌توان گفت که احتمالاً تغییرات اقلیمی، زمان طولانی و پدیده بالاروی زمین‌نما در اثر فعالیت تکتونیک، بر تغییر خواص خاک تأثیر بسزایی داشته است. به عنوان مثال، وجود افق مدفون 2Bt<sub>kb</sub> در پروفیل ۹ (تراس میانی ۲) می‌تواند این آثار را منعکس کند. زیرا از یک سو، تغییر ناگهانی رنگ به سمت قرمزشدن (از 7.5YR به 2.5YR و از سوی دیگر، افزایش میزان رس و آهن پدورژنیک (جدول ۲)، وجود کانی‌های رسی جهت‌دار با فابریک دایره‌ای و تغییر شکل یافته، که در متن خاک پخش می‌باشند، وجود بقایای آرجیلان بنام پاپیول (شکل ۱۰)، از شواهدی هستند که افق 2Bt<sub>kb</sub> را مدفون نشان می‌دهند.
  - اسمک و همکاران (۲۳) در بررسی خاک‌های پالی زرالف (Palexeralf) اسپانیا، وجود افق دارای هیوی قرمزتر از 10YR را در بخش زیرین سولوم خاک به هماتیت و منشأ پلی‌زنیک خاک‌ها نسبت دادند. این پژوهشگران، بخش زیرین را با دوره مروط‌تر پلیستوسن و بخش فوقانی را با اقلیم مدیترانه‌ای نیمه خشک زمان حاضر مرتبط دانستند. ری‌تالاک(۲۰) معتقد است که در خاک مدفون در پالئوسول‌ها، در اثر آب‌زدایی، فری‌هیدرات به گوتیت، و سپس به هماتیت تغییر می‌یابد. میکسنر و سینگر(۱۵) نیز در بررسی خاک‌های پالئوسول در کالیفرنیا با رژیم رطوبتی زریک، نتیجه گرفته‌اند که در افق 2B21t<sub>2</sub> تغییر ناگهانی رنگ از 7.5YR به 2.5YR وجود داشته است، و نقش رسوب‌گذاری همزمان را در این حالت مردود دانسته، ولی تغییر اقلیم را عامل مؤثر می‌دانند.
  - حال با توجه به این که اثر دراز مدت تشکیل خاک (زمان طولانی‌تر) نیز می‌تواند همانند نتایج پدولوژیک تغییر اقلیم

خاک‌ها در واحد کوه (پروفیل ۶) دارای افق آرجیلیک بوده، از تکامل خوبی برخوردارند (جدول ۲)، و به دلیل آب‌شوبی زیاد، امکان تخریب کانی‌های کلریت و ایلیت و تشکیل کانی‌های مخلوط کلریت-اسمکتیت و ایلیت-اسمکتیت فراهم شده، موجب افزایش رس‌های گروه اسمکتیت و گنجایش تبادل کاتیونی خاک شده است. خاک‌های تراس بالای (پروفیل ۷)، به دلیل آهک زیاد، از تکامل ضعیف‌تر برخوردارند. گرچه وجود کربنات‌های ثانویه سوزنی شکل و کانی‌های رسی مخلوط در بخش رس، دلیل بر هوادیدگی این خاک‌ها است.

به تدریج که ارتفاع از تراس‌ها به سمت رودخانه کوهرنگ کمتر می‌شود، تجمع اسمکتیت بیشتر آشکار می‌شود، به گونه‌ای که در تراس میانی ۱، خاک ورتی‌سول تشکیل شده، و در تراس میانی ۲، پوسته رسی انتقال یافته از افق‌های رویی در سطح خاک‌دانه‌ها و به صورت پخش شده در متن (زمینه) خاک (Soil matrix) دیده می‌شود، و بیشتر به صورت پوسته‌های فشاری وجود دارد. در افق‌های مدفون زیرین، بقایای پوسته رسی، که منشأ رسوبی و انتقال یافته از محل دیگر را دارد، به صورت پاپیول (Papule) است (شکل ۱۰). با افزایش فاصله از رودخانه کوهرنگ، در فلات قدیمی به دلیل تجمع رس‌های گروه اسمکتیت (شکل ۶)، خاک‌های ورتی‌سول تشکیل می‌شود (جدول ۲).

بررسی‌های مقطع نازک، نشان می‌دهد که پوسته‌های رسی اغلب تخریب یافته‌اند (در اثر رشد بلورهای کلسیت یا انقباض و انبساط رس‌ها)، به گونه‌ای که بقایای پوسته رسی به صورت پاپیول ظاهر می‌گردد (شکل‌های ۹ و ۱۰). در این خاک‌ها، آرجیلان عمده‌تاً به دلایل زیر دارای منشأ فشاری بوده و کمتر ایلوویال (انتقال یافته از سطح) هستند:

۱. ضخامت رس‌های انتقال یافته از سطح و جهت‌دار (آرجیلان ایلوویال) روی دیواره منافذ، کم بوده و یا در متن خاک پخش هستند (فابریک ماسپیک)، و یا به صورت لایه‌ای نازک، سطح ذرات درشت را احاطه کرده‌اند

جدول ۲. برخی ویژگی‌های فیزیکی، شیمیایی، مورفولوژیک و طبقه‌بندی نیمرخ خاک‌های شاهد (ناحیه اقلیمی چلگرد)

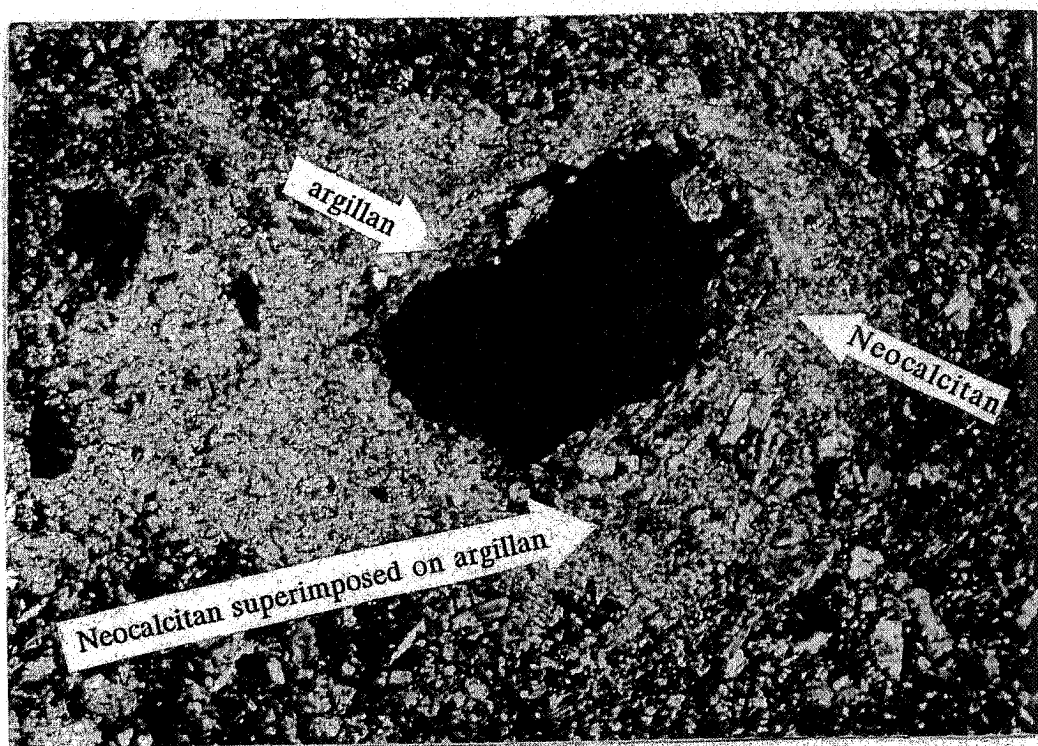
رس (%)	کربنات کلسیم معادل (%)	کربنات ثانویه	ساختمان	رنگ مرطوب	عمق (سانتی‌متر)	افق	نیمرخ خاک	واحد فیزیوگرافی
۵۸	۳	—	2fgr	10YR 3/3	۰-۲۲	A		
۶۵	۱۲	—	2mabk	10YR 4/3	۲۲-۴۰	Bw	۶	کوه
۷۳	۴	—	1(f-m)abk	10YR 4/4	۴۰-۸۰	B1		
۴۷	۲۰	—	m	2.5YR 4/4	۸۰-۱۳۰	C		
۴۳	۲۱	—	1fgr	7.5YR ۳/۴	۰-۱۸	Ap		
۳۸	۵۲	آهک پودری به مقدار نسبتاً زیاد	1fsbk	7.5YR 4/4	۱۸-۴۴	Bk1		
۴۹	۶۰	آهک پودری به مقدار نسبتاً زیاد	1fsbk	10YR 5/6	۴۴-۷۶	Bk2		
۲۵	۵۸	آهک پودری به مقدار نسبتاً زیاد	1fsbk-sbk	10YR 5.5/6	۷۶-۹۳	Bk3	۷	تراس بالایی
۹	۶۸	آهک پودری و رشته‌ای به مقدار نسبتاً زیاد	1fsbk-m	7.5YR 5.5/6	۹۳-۱۰۱	2Bk4		
۱۷	۶۰	آهک پودری به مقدار نسبتاً زیاد	1fsbk-m	10YR 5.5/4	۱۰۱-۱۳۰	2BCk		
۴	۷۰	—	m	10YR 7/3	۱۳۰-۱۵۰	2C		
۵۳	۴	—	2fgr-sbk	10YR 3/3	۰-۲۴	Ap		
۴۹	۱۰	آهک پودری به مقدار نسبتاً زیاد	2mabk	10YR 3/3	۲۴-۵۱	Bk		تراس
۴۲	۲۳	آهک پودری به مقدار نسبتاً زیاد	3mabk	10YR 4/3	۵۱-۸۰	Btk	۸	میانی <sup>۱</sup>
۴۰	۲۱	آهک پودری به مقدار نسبتاً زیاد	3mabk	10YR 4/4	۸۰-۱۳۰	B'k		
۵۳	۳	—	1fgr-m	10YR ۳/۴	۰-۱۸	Ap		
۵۳	۱۸	آهک پودری خیلی کم	1(f-m)abk	10YR ۳/۴	۱۸-۳۸	Btk1		
۴۱	۲۵	آهک پودری به مقدار نسبتاً زیاد	2mabk	10YR 4/4	۳۸-۷۲	Btk2	۹	تراس
۴۰	۲۲	آهک پودری و رشته‌ای به مقدار نسبتاً زیاد	2mabk	7.5YR 4/4	۷۲-۹۰	Btk3		میانی
۴۷	۲۴	آهک پودری و رشته‌ای به مقدار نسبتاً زیاد	2mabk	7.5YR 4/4	۹۰-۱۲۴	Btk4		
۷۱	۲۶	آهک پودری به مقدار نسبتاً زیاد	2fabk-sbk	2.5YR 3.5/6	۱۲۴-۱۵۰	2Btkb		
۲۲	۵۱	—	1fsbk-m	10YR ۳/۴	۰-۲۵	A		تراس
۹	۷۰	—	m	10YR 5/4	۲۵-۷۴	C1	۱۰	پالیسی
۱۰	۷۵	—	m	10YR 5/4	۷۴-۱۰۰	C2		
۴۹	۱۲	—	1vfgr	7.5YR ۳/۴	۰-۱۰	Ap		
۴۷	۱۰	آهک پودری به مقدار نسبتاً زیاد	2fabk	10YR 4/3.5	۱۰-۴۰	Bk1		
۴۸	۲۰	آهک پودری به مقدار زیاد	2fabk	10YR 3.5/4	۴۰-۸۰	Bk2	۱۱	فلات‌های قدیمی
۴۹	۲۰	آهک پودری به مقدار زیاد	1vfabk	10YR 3.5/3	۸۰-۱۳۰	Bk3		
۰۱/۰	۲۱	آهک پودری به مقدار زیاد	1vfabk	10YR 3.5/5	۱۳۰-۱۷۰	Bk4		

۱. اسلیکنساید و خاک دانه‌های گوهای شکل در عمق‌های ۹۰-۴۰ سانتی‌متری دیده شد.

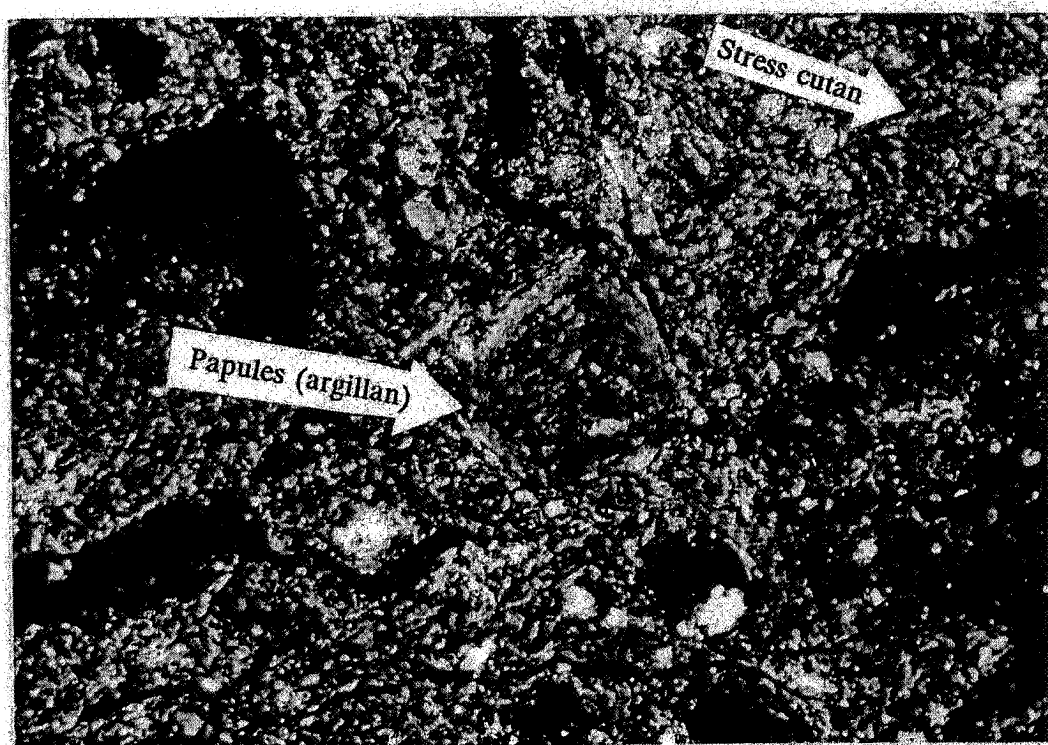
ادامه جدول ۲. برخی ویژگی‌های فیزیکی، شیمیایی، مورفولوژیک و طبقه‌بندی نیم‌رخ خاک‌های شاهد (ناحیه اقلیمی چلگرد)

واحد فیزیوگرافی	نیم‌رخ خاک	کربن آلی (%)	Fe <sub>d</sub> -Fe <sub>0</sub> (%)	pH	CEC cmol (+)kg <sup>-1</sup>	رس ریز کل رس	سیستم طبقه‌بندی (۲۰) ۱۹۹۸
Mollic Haploxeralfs	۰/۵۴	۴۷/۴	۷/۱	۲/۱۳	۳۲۳		
	۰/۵۴	۴۵/۱	۷/۳	۱/۹	۱/۲		
	۰/۶	۴۹/۲	۷/۳	۱/۷۰	۱/۱۰		
	—	۴۳/۶	۷/۶	۱/۴۹	۰/۷۵		کوه
Typic Calcixerpts	—	۴۵/۴	۷/۵	۱/۱۶	۱/۰		
	—	۳۲/۷	۷/۶	۰/۷۷	۰/۸۸		
	—	۱۹/۳	۷/۹	۰/۴۵	۰/۰۶		
	—	۲۲/۲	۷/۸	۰/۴۳	۰/۳۸		تراس بالایی
Chromic Calcixererts	—	۱۱/۶	۷/۹	۰/۴۳	۰/۰۷		
	—	۱۰/۸	۷/۹	۰/۴۲	۰/۰۶		
	—	۸/۴	۸	۰/۳۴	۰/۰۶		
	—	۴۰/۲	۷/۶	۱/۱	۱/۰۱		
Calcic Haploxeralfs	—	۴۱/۷	۷/۶	۰/۸۲	۱/۰۱		
	—	۳۸/۶	۷/۷	۰/۶۱	۰/۳۹		
	—	۳۷/۶	۷/۶	۰/۴۴	۰/۳۴		
	۰/۶۴	۴۰/۳	۷/۶	۰/۹۳	۱/۳۹		
Typic Xerorthents	۰/۶۸	۴۱/۸	۷/۶	۰/۸۴	۰/۷		
	۰/۶۵	۳۷/۱	۷/۷	۰/۷۹	۰/۴۱		
	۰/۶۶	۴۲/۸	۷/۴	۰/۷۹	۰/۲۸		
	۰/۶۸	۴۰/۴	۷/۶	۰/۷۶	۰/۲۰		
Chromic Calcixererts	۰/۶۹	۵۱/۱	۷/۴	۱/۴۹	۰/۴۹		
	—	۲۲/۹	۷/۴	۰/۶۲	۰/۷۸		
	—	۱۲/۲	۷/۷	۰/۱۰	۰/۲۷		
	—	۱۳/۸	۷/۷	۰/۱۰	۰/۲۶		
فلات‌های قدیمی	—	۴۳	۷/۴	۰/۷۴	۰/۷		
	—	۴۲	۷/۰	۰/۷۸	۰/۳۲		
	—	۴۱/۰	۷/۰	۰/۷۶	۰/۲۶		
	—	۴۲	۷/۸	۰/۷۱	۰/۲		
	—	۴۷/۵	۷/۷	۰/۰۹	۰/۱۲		

۱. اسلیکنساید و خاک دانه‌های گروهی شکل در عمق‌های ۹۰-۴۰ سانتی‌متری دیده شد.



شکل ۹. مقطع میکروسکوپی افق Btk پروفیل ۸ نور پلاریزه، طول عکس برابر  $۰/۵$  میلی متر  
(نتوکلسیتان روی آرجیلان و تخریب بخشی از آرجیلان را نشان می دهد).



شکل ۱۰. مقطع میکروسکوپی افق 2Btkb پروفیل ۹، نور پلاریزه، طول عکس برابر  $۰/۵$  میلی متر  
[آرجیلان با منشأ رسوبی (پاپول) و کوتان فشاری به صورت غالب را نشان می دهد.]

زردکوه، نشان می‌دهد که این منطقه از نظر تکتونیک فعال بوده است (۱۰). چون اختلاف ارتفاع تراس‌های بالایی و میانی، بیش از پنج متر است، تشکیل این تراس‌ها می‌تواند در اثر فعالیت تکتونیک نیز صورت گیرد (۱۰). گرچه بول (۶) معتقد است که گسل‌های موضعی ممکن است تراس‌هایی ایجاد نمایند که از نظر سن و خواص پدولوژیک مشابه، ولی از نظر خواص توپوگرافی متفاوت باشند، با وجود این، جرارد (۱۰) وجود خاک‌های پالتوسول را در مناطق فعال تکتونیک ممکن می‌داند. بنابراین، می‌توان نتیجه گرفت که احتمالاً تراس‌های منطقه مورد بررسی در ناحیه چلگرد، در اثر فعالیت تکتونیک و اقلیم گذشته مروطوب‌تر شکل گرفته، و با تغییر شیب از طریق فرسایش و رسوب گذاری، ویژگی‌های خاک‌ها تغییر نموده است.

باشد، این پرسش مطرح می‌شود که آیا تغییرات قرمزی افق ۲Bt<sub>kb</sub> در پروفیل<sup>۹</sup>، در اثر زمان طولانی تر انجام شده، یا در اثر اقلیم، و یا هر دو؟ به نظر می‌رسد که هر دو عامل اقلیم و زمان در اینجا نقش دارند. میزان  $\text{Fe}_\text{d}$ -Fe در افق مدفون برابر ۱/۴۹، ولی برای افق‌های Btk4 و Ap به ترتیب برابر ۰/۷۶ و ۰/۹۳ می‌باشد. مقدار  $\text{Fe}_\text{d}$ -Fe، آهن بلوری آزاد را نشان می‌دهد، و چون هرچه اکسید آهن بلوری در یک خاک بیشتر باشد سن آن خاک بیشتر است (۲۷)، می‌توان گفت که ۲Bt<sub>kb</sub> قدیمی‌تر است.

وجود تراس‌های رودخانه‌ای می‌تواند نظریه پیدایش خاک‌های پالتوسول در ناحیه اقلیمی چلگرد (تغییر اقلیم) و منشأ پلی‌زنگی خاک‌ها را تقویت نماید. وجود تراس‌ها و بریدگی عمیق اطراف رودخانه و پیدایش گسل در اطراف

#### منابع مورد استفاده

۱. درویش‌زاده، ع. ۱۳۷۰. زمین‌شناسی ایران. نشر دانش‌آموز وابسته به مؤسسه انتشارات امیرکبیر، تهران.
۲. مهندسی مشاور یکم. ۱۳۶۷. مطالعات جامع احیا و توسعه کشاورزی و منابع طبیعی حوزه آبخیز شمالی رود کارون. جلد‌های دوم، ششم، هشتم و چهارم. وزارت کشاورزی، معاونت طرح و برنامه، تهران.
3. Birkland, P. W. 1984. Soils and Geomorphology. Oxford University Press, New York.
4. Blume, H. P. and U. Schwertmann. 1969. Genetic evaluation of profile distribution of Al, Fe and Mn oxides. Soil Sci. Am. Proc. 33: 438-444.
5. Brewer, R. 1976. Fabric and Mineral Analysis of Soils. Krieger Publ. Co., Huntington, New York.
6. Bull, W. B. 1991. Geomorphic Response to Climatic Change. Oxford University Press, New York.
7. Buol, S. W. and S. B. Weed. 1991. Saprolite soil transformations in the piedmont and mountains of North Carolina. Geoderma 51: 15-28.
8. Drees, L. R. and L. D. Wilcing. 1987. Micromorphic record and interpretations of carbonate forms in the rolling plains of Texas. Geoderma 40: 157-175.
9. Ducloux, J. , J. P. Delhoume, S. Petit and A. Decarreau. 1995. Clay differentiation in Aridisols of northern Mexico. Soil Sci. Soc. Am. J. 59: 269-276.
10. Gerrard, J. 1992. Soil Geomorphology. An integration of pedology and geomorphology. Chapman and Hall, London.
11. Jessup, R. W. 1960. Identification and significance of buried soils of Quaternary age in the southeastern portion of the Australian arid zone. J. Soil Sci. 11: 197-205.
12. Khan, F. A. and T. E. Fenton. 1996. Secondary iron and manganese distributions and aquic conditions in a Mollisol catena of central Iowa. Soil Sci. Soc. Am. J. 60: 546-551.
13. Kittrick, J. A. and E. W. Hope. 1971. A procedure for particle size separations of soil for X-ray diffraction. Soil Sci. Am. J. 35: 621-626.

14. McFadden, L. D. and R. J. Weldon. 1987. Rates and processes of soil development on Quaternary terraces in Cajon Pass, California. *Geol. Soc. Am. Bull.* 98: 280-293.
15. Meixner, R. E. and M. J. Singer. 1981. Use of a field morphology rating system to evaluate soil formation and discontinuities. *Soil Sci.* 131: 114-123.
16. Monger, H. C. and H. P. Adams. 1996. Micromorphology of calcite-silica deposits, Yucca Mountain, Nevada. *Soil Sci. Soc. Am. J.* 60: 519-530.
17. Moore, T. R. 1973. The distribution of Fe, Mn, and Al in some soils from northeast Scotland. *J. Soil Sci.* 24: 162-171.
18. Rabenhorst, M. C., L. T. West and L. P. Wilding. 1991. Genesis of calcic and petrocalcic horizons in soils over carbonate rocks. In: *Occurrence, Characteristics, and Genesis of Carbonate, Gypsum, and Silica Accumulations in Soils*. SSSA. Special Pub. N. 26, Madisson, WI.
19. Reheis, M. C., J. M. Sowers, E. M. Taylor, L. D. McFadden and J. W. Harden. 1992. Morphology and genesis of carbonate soils on the Kyle canyon fan. *Geoderma* 52: 303-342.
20. Rettalack, G. J. 1990. *Soils of the Past. An introduction to paleopedology*. Boston, Unwin Hyman, London.
21. Rhodes, E. R. and P. M. Sutton. 1987. Active iron ratio of some soils from three physiographic units in Sierraleone. *Soil Sci.* 125: 326-327.
22. Ruhe, R. V. 1956. Geomorphic surfaces and the mature of soils. *Soil Sci.* 84: 441-455.
23. Smeck, N. E., J. Torrent and V. Barron. 1994. Interactions and weathering losses of iron and phosphorus in Paleixeralfs of southern Spain. *Soil Sci. Soc. Am. J.* 58: 1723-1729.
24. Sobecki, T. M. and L. P. Willding. 1982. Calcic horizon distribution and soil classification in selected soils of the Texas Coast Prairie. *Soil Sci. Soc. Am. J.* 46: 1222-1227.
25. Soil Survey Staff. 1998. *Keys to Soil Taxonomy*. 8th ed., USDA-NRCS, Washington, DC.
26. Timpson, M. E., S. Y. Lee, J. T. Ammons and J. E. Foss. 1996. Mineralogical investigation of soils formed in calcareous gravelly alluvium, Eastern Crete, Greece. *Soil Sci. Soc. Am. J.* 60: 299-308.
27. Walker, A. L. 1983. The effects of magnetite on oxalate and dithionite extractable iron. *Soil Sci. Soc. Am. J.* 47: 1022-1026.